

## 第5章 小尺度衰落

### 5.1 小尺度衰落概述

### 5.2 多普勒效应 - 慢衰落/快衰落

#### 5.2.1 多普勒效应

#### 5.2.2 相干时间

##### 1. 定义

##### 2. 计算

### 5.3 多径效应 - 平坦衰落/频选衰落

#### 5.3.1 线性多径信道模型

##### 1. 线性多径时变信道模型（一般）

##### 2. 线性多径时不变信道模型

#### 5.3.2 时延扩展 Delay Spread, DS

##### 1. 最大时延扩展

##### 2. 方均根（RMS）时延扩展

#### 5.3.3 相干带宽

##### 1. 定义

##### 2. 计算

### 5.4 平坦衰落（窄带衰落）时变信道模型的边缘分布

#### 5.4.1 瑞利衰落信道模型

##### 1. 适用条件

##### 2. 推导

##### 3. 幅度增益分布

统计特性：

##### 4. 相位分布

##### 5. 功率分布

##### 6. 中断率

幅度增益式：

接收功率式：

#### 5.4.2 莱斯信道模型

##### 1. 适用条件

##### 2. 幅度增益分布

##### 3. 功率增益分布

#### 5.4.3 Nakagami信道模型 (\*)

### 5.5 平坦衰落（窄带衰落）时变信道模型的时变特性

#### 5.5.1 时变信道的分析方法

##### 1. 衰落系数的自相关函数

##### 2. 信道增益的自相关函数 和 信道增益的功率谱密度

##### 3. 信道增益的功率谱密度（功率-频率谱）和 多普勒谱（功率-多普勒频偏谱）

##### 4. 多普勒谱 和 功率-到达角谱

#### 5.5.2 Clarke 模型

##### 1. 适用条件

##### 2. 推导

第1步：

第2步：

第3步：

第4步：

#### 5.5.3 电平通过和衰落统计

##### 1. 定义

##### 2. Clarke模型下的结论：

### 5.6 频选衰落（宽带衰落）时变信道模型

#### 5.6.1 附加时延段 和 分析带宽

#### 5.6.2 WSS-US假设 和 抽头延迟线（TDL）模型

##### 1. WSS-US 假设

##### 2. 抽头延迟线（TDL）模型

## 第5章 小尺度衰落

### 5.1 小尺度衰落概述

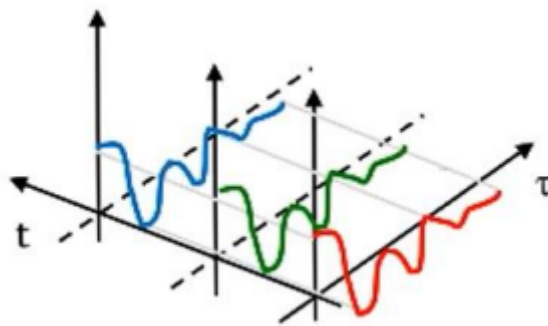
“小尺度”：信号强度经过短距离/短时延后急剧变化

分类：

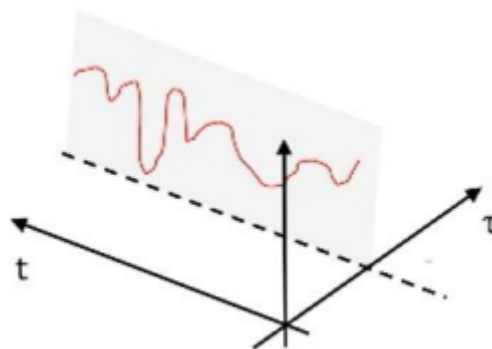
1. 发射端和接收端的相对运动 - 多普勒频移 - 信道的相干时间 - 慢衰落/快衰落
2. 发射端和接收端之间的多径传播 - 时延拓展 - 信道的相干带宽 - 平坦衰落/频率选择性衰落

信道的 时间域 $t$  和 时延域 $\tau$

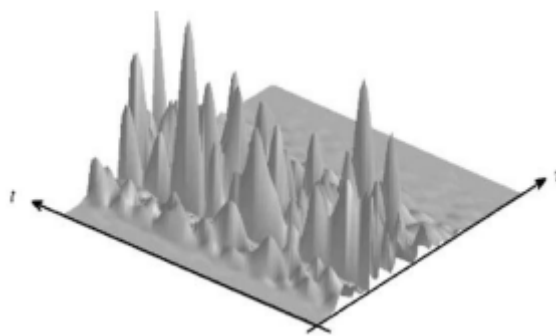
1. 线性时不变单径信道
2. 线性时不变多径信道



3. 线性时变单径信道



4. 线性时变多径信道



## 5.2 多普勒效应 - 慢衰落/快衰落

### 5.2.1 多普勒效应

发射端和接收端的相对运动 导致 传播路程差 进而导致 多普勒相移：

$$\Delta\phi = \frac{2\pi\Delta l}{\lambda} = \frac{2\pi v\Delta t \cos\theta}{\lambda}$$

其中  $\theta$  是 接收台行进方向 转到 接收台指向发送台 的夹角

多普勒相移 对时间求导 得到 多普勒频移：

$$f_d = \frac{\Delta\phi}{\Delta t} \frac{1}{2\pi} = \frac{v \cos\theta}{\lambda}$$

多普勒最大频移：

$$f_d^{\max} = \frac{v}{\lambda} = \frac{v}{c} f_c$$

### 5.2.2 相干时间

#### 1. 定义

在相干时间间隔内，信道冲激响应近似不变，两个到达的信号具有很强的幅度相关性

由此可知：如果符号周期大于信道相干时间，则符号传输过程中信道冲激响应可能发生改变，导致接收信号失真

#### 2. 计算

$$T_C \approx \begin{cases} \frac{1}{(f_d)_{\max}} \\ \frac{9}{16\pi} \cdot \frac{1}{(f_d)_{\max}} \quad (\text{时间相关函数} > 0.5 \text{的时间段长度}) \\ \sqrt{\frac{9}{16\pi}} \cdot \frac{1}{(f_d)_{\max}} \approx 0.423 \cdot \frac{1}{(f_d)_{\max}} \end{cases}$$

## 5.3 多径效应 - 平坦衰落/频选衰落

### 5.3.1 线性多径信道模型

#### 1. 线性多径时变信道模型（一般）

基带信号：  $u(t)$

发射信号：  $s(t) = \text{Re} \{ u(t) e^{j2\pi f_c t} \}$

假设 视距时延  $\tau_0$ 、多径时延  $\tau_n$ 、多径路径数量  $N$  都是时间  $t$  的函数

接收信号 视距分量：  $r_1(t) = \text{Re} \left\{ u(t - \tau_0(t)) \cdot \alpha_0(t) \cdot e^{j2\pi(f_c + f_{0,D})(t - \tau_0(t))} \right\} + n(t)$

接收信号 多径分量：  $r_2(t) = \text{Re} \left\{ \sum_{n=1}^{N(t)} u(t - \tau_n(t)) \cdot \alpha_n(t) \cdot e^{j2\pi(f_c + f_{n,D})(t - \tau_n(t))} \right\} + n(t)$

若不考虑噪声，则接收信号：

$$\begin{aligned} r(t) &= \text{Re} \left\{ \sum_{n=0}^{N(t)} u(t - \tau_n(t)) \cdot \alpha_n(t) \cdot e^{j2\pi(f_c + f_{n,D})(t - \tau_n(t))} \right\} \\ &= \text{Re} \left\{ e^{j2\pi f_c t} \sum_{n=0}^{N(t)} u(t - \tau_n(t)) \cdot \alpha_n(t) \cdot e^{j2\pi[f_c(-\tau_n(t)) + f_{n,D}(t - \tau_n(t))]} \right\} \\ &= \text{Re} \left\{ e^{j2\pi f_c t} \sum_{n=0}^{N(t)} u(t - \tau_n(t)) \cdot \alpha_n(t) \cdot e^{j\phi_n(t)} \right\} \end{aligned}$$

其中  $\phi_n(t) = 2\pi[f_c(-\tau_n(t)) + f_{n,D}(t - \tau_n(t))]$

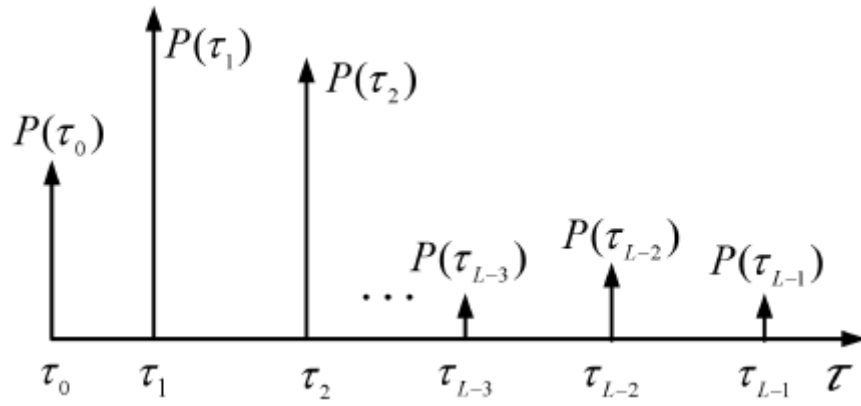
$$h(t, \tau) = \sum_{n=0}^{N(t)} \delta(\tau - \tau_n(t)) \alpha_n(t) e^{j\phi_n(t)}$$

#### 2. 线性多径时不变信道模型

$$h(\tau) = \sum_{n=0}^N \delta(\tau - \tau_n) \alpha_n e^{j\phi_n}$$

### 5.3.2 时延扩展 Delay Spread, DS

(基于 线性多径时不变信道 讨论)



其中：

$$P(\tau_i) = |h(\tau_i)|^2 = |\delta(\tau - \tau_i)\alpha_i|^2 = \delta(\tau - \tau_i)|\alpha_i|^2$$

## 1. 最大时延扩展

$$\tau_{\max} = \tau_{L-1} - \tau_0$$

## 2. 方均根 (RMS) 时延扩展

对于某些时延很大的分量，如果其强度很弱，则可以忽略不计

—— 考虑引入时延分量的强度作为权重，得到 功率延迟分布 Power Delay Profile, PDP：

$$\begin{aligned} \text{(第 } i \text{ 个时延分量的权重)} \quad PDP = f(\tau_i) &= \frac{|\alpha_i|^2}{\sum_{k=0}^N |\alpha_k|^2} \quad (i = 0, 1, 2, \dots, N) \\ \Rightarrow \begin{cases} \text{一阶矩/均值 } \bar{\tau} = \sum_{i=0}^N [f(\tau_i) \cdot \tau_i] \\ \text{二阶矩/标准差 } \sigma_{\tau} = \begin{cases} \text{法1: } \sqrt{\sum_{i=0}^N f(\tau_i)(\tau_i - \bar{\tau})^2} \\ \text{法2: } \sqrt{\overline{\tau^2} - (\bar{\tau})^2} \quad \text{其中 } \overline{\tau^2} = \sum_{i=0}^N \left( \frac{|\alpha_i|^2}{\sum_{n=0}^N |\alpha_n|^2} \cdot \tau_i^2 \right) \end{cases} \end{cases} \end{aligned}$$

其中的  $\bar{\tau}$  即为平均附加延迟， $\sigma_{\tau}$  即为 RMS (方均根) 时延拓展

当多径分量数很大时，离散求和改为连续积分：

$$\begin{aligned} PDP = f(\tau) &= \frac{|h(\tau)|^2}{\int |h(\tau)|^2 d\tau} \\ \Rightarrow \begin{cases} \text{一阶矩/均值 } \bar{\tau} = \int_0^{\infty} f(\tau) \cdot \tau d\tau \\ \text{二阶矩/标准差 } \sigma_{\tau} = \begin{cases} \text{法1: } \sqrt{\int f(\tau)(\tau - \bar{\tau})^2 d\tau} \\ \text{法2: } \sqrt{\overline{\tau^2} - (\bar{\tau})^2} \quad \text{其中 } \overline{\tau^2} = \int \left( \frac{|h(\tau)|^2}{\int |h(\tau)|^2 d\tau} \cdot \tau^2 \right) d\tau \end{cases} \end{cases} \end{aligned}$$

常见信道的PDP：单边指数分布（如瑞利信道）

$$f(\tau) = \frac{1}{\bar{\tau}} e^{-\frac{\tau}{\bar{\tau}}} \quad (\tau \geq 0)$$

$$\text{其中 } \bar{\tau} = \int_0^{+\infty} f(\tau) \cdot \tau d\tau$$

$$\text{则其 均方根时延扩展: } \sigma_{\tau} = \sqrt{\int f(\tau)(\tau - \bar{\tau})^2 d\tau} = \bar{\tau}$$

### 5.3.3 相干带宽

（基于 线性多径时不变信道 讨论）

#### 1. 定义

通过 信道相干带宽 的 频谱分量 以 几乎相同的增益和线性相位 通过（很强的幅度相关性）

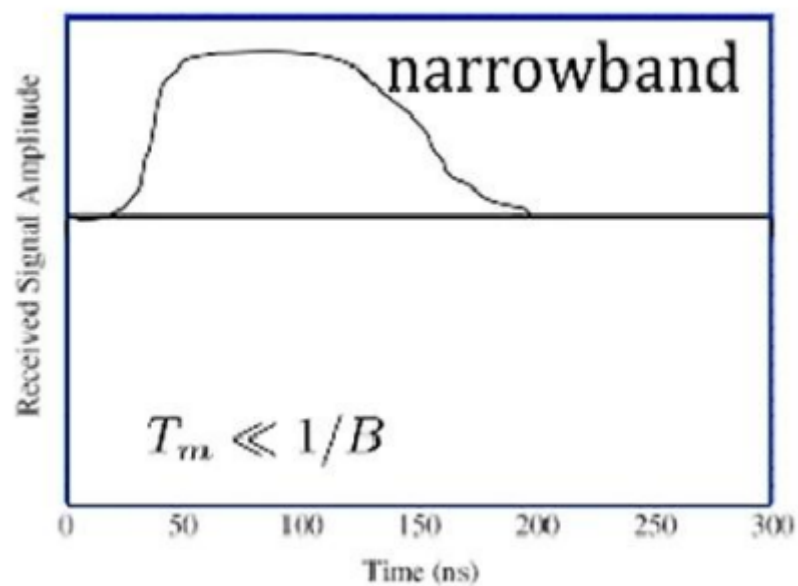
由此可知：

1. 频域表述：

1. 若 信号的符号带宽 小于 信道的相干带宽，则信号经历 平坦衰落（窄带）
2. 若 信号的符号带宽 大于 信道的相干带宽，则信号经历 频率选择性衰落（宽带）

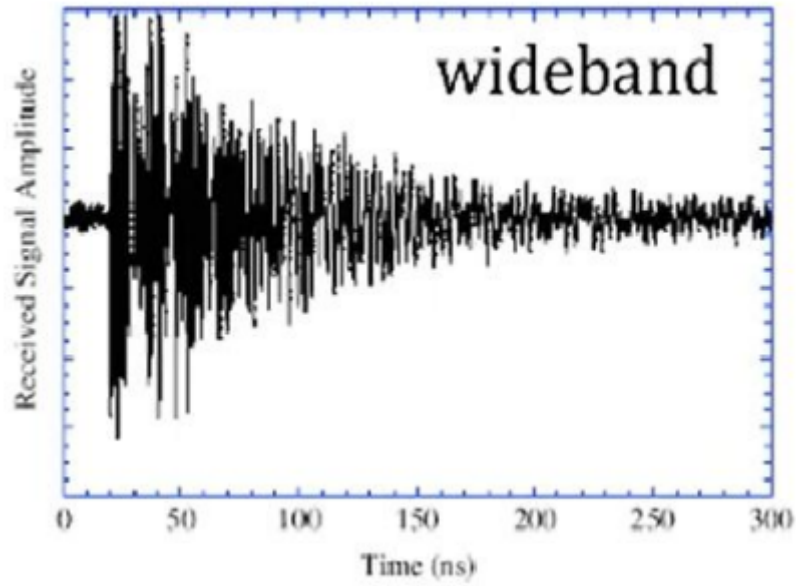
2. 时域表述：

1. 信号的符号周期 大于 信道的时延拓展，在时域上表现为 信号的多个时延分量无法区分（重叠），可以近似认为所有的多径分量同时到达



注：常用标准： $\sigma_{\tau} < 0.1T_s$ （接收端不需要使用均衡器的常用标准）

2. 信号的符号周期 小于 信道的时延拓展，在时域上表现为 信号的多个时延分量可以区分（无重叠）



## 2. 计算

$$\begin{cases} \rho = 0.9 \Rightarrow B_c \approx \frac{1}{50\sigma_\tau} \\ \rho = 0.5 \Rightarrow B_c \approx \frac{1}{5\sigma_\tau} \end{cases}$$

## 5.4 平坦衰落（窄带衰落）时变信道模型的边缘分布

平坦衰落（窄带衰落）时变信道模型 属于一个随机过程，可以分为 边缘分布 和 时变特性

### 5.4.1 瑞利衰落信道模型

#### 1. 适用条件

1. 不存在视距（Line of Sight）分量

#### 2. 推导

提前说明：虽然此处推导使用的是时不变信道模型，但是瑞利衰落、莱斯衰落、nakagami衰落都适用于时变信道

由前可知，线性时不变多径信道的冲激响应：

$$h(\tau) = \sum_{n=0}^N \delta(\tau - \tau_n) \alpha_n e^{j\phi_n}$$

对于窄带模型，近似认为所有时延分量同时到达：

$$h(\tau) = \sum_{n=0}^N \alpha_n e^{j\phi_n}$$

$$\text{衰落系数: } \beta = \sum_{i=0}^N a_i e^{j\phi_i} = \sum_{i=0}^N (a_i \cos \phi_i + j \sin \phi_i) = \sum_{i=0}^N [(\beta_I)_i + j(\beta_Q)_i]$$

$$\text{记 } \beta = ae^{j\phi} = \beta_I + j\beta_Q$$

$$\text{若: } \begin{cases} \text{多径数 } N \text{ 很大} \\ \text{不存在直达径分量} \end{cases}$$

因为  $(\beta_I)_i$  和  $(\beta_Q)_i$  都是独立同分布

$$\text{则 } \begin{cases} \beta_I, \beta_Q \sim N(0, \sigma^2) \\ \beta_I, \beta_Q \text{ 相互独立} \end{cases}$$

(... 推导 ...)

$$\text{则 } \begin{cases} a \sim \text{Rayleigh}(\sigma^2) \text{ 即 } f_A(a) = \begin{cases} \frac{a}{\sigma^2} e^{-\frac{a^2}{2\sigma^2}} & (0 \leq r < \infty) \\ 0 & (r < 0) \end{cases} \\ \phi \sim U(-\pi, \pi) \text{ 即 } f_\Phi(\phi) = \frac{1}{2\pi} \quad (-\pi < \phi < \pi) \\ a, \phi \text{ 相互独立} \end{cases}$$

其中  $\sigma^2$  是  $\beta_I, \beta_Q$  的方差

注意:

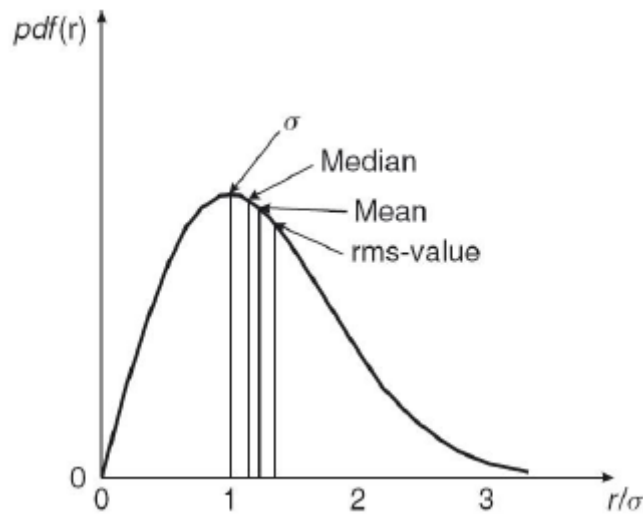
1. 瑞利分布在实际测量中非常准确
2. 在瑞利衰落中不存在视距分量，因此是最差场景的结果
3. 仅仅依赖于单一参数  $\sigma$
4. 计算其他参数，如中断率、功率分布等非常方便

### 3. 幅度增益分布

$$a \sim \text{Rayleigh}(\sigma^2) \text{ 即 } f_A(a) = \begin{cases} \frac{a}{\sigma^2} e^{-\frac{a^2}{2\sigma^2}} & (0 \leq r < \infty) \\ 0 & (r < 0) \end{cases}$$



统计特性:



$$\left\{ \begin{array}{l} \text{均值 } \bar{a} = \int_0^{\infty} a f_A(a) da = \sqrt{\frac{\pi}{2}} \sigma \\ \text{均方值 } \overline{a^2} = \int_0^{\infty} a^2 f_A(a) da = 2\sigma^2 \int_0^{\infty} m e^{-m} dm = 2\sigma^2 \\ \text{均方根 } a_{rms} = \sqrt{\overline{a^2}} = \sqrt{2} \sigma \\ \text{方差 } D = \overline{a^2} - (\bar{a})^2 = \left(2 - \frac{\pi}{2}\right) \sigma^2 \approx 0.429 \sigma^2 \\ \text{中值 } a_{50} = \sqrt{2 \ln 2} \sigma \approx 1.18 \sigma \\ \max \{f_A(a)\} \text{ 在 } a = \sigma \text{ 处} \end{array} \right.$$

#### 4. 相位分布

$$\phi \sim U(-\pi, \pi) \text{ 即 } f_{\Phi}(\phi) = \frac{1}{2\pi} \quad (-\pi < \phi < \pi)$$

#### 5. 功率分布

假设 经历小尺度衰落前的 信号功率为  $P_0$  , 经历小尺度衰落后 的信号功率为  $P_r$

则 小尺度衰落过程为:

$$P_r = a^2 P_0 \text{ 即 } a = \sqrt{\frac{P_r}{P_0}}$$

根据 幅度增益分布 可得:

$$f_{P_r}(p) = \frac{\sqrt{\frac{p}{P_0}}}{\sigma^2} e^{-\frac{p}{2\sigma^2}} \cdot \sqrt{\frac{1}{P_0} \frac{1}{2\sqrt{p}}} = \frac{1}{2\sigma^2 \cdot P_0} e^{-\frac{p}{2\sigma^2 \cdot P_0}} = \frac{1}{\bar{P}} e^{-\frac{p}{\bar{P}}}$$

其中  $\bar{P} = 2\sigma^2 \cdot P_0$  为 基于瑞利信道的平均接收功率

可知  $2\sigma^2$  为 平均接收功率增益

可知, 接收功率  $P_r$  服从指数分布

## 6. 中断率

幅度增益式:

$$Pr[a \leq a_{\min}] = \int_0^{a_{\min}} f_A(a) da = 1 - e^{-\frac{a_{\min}^2}{2\sigma^2}} \underset{\text{当 } a_{\min} \text{ 较小时}}{\approx} \frac{a_{\min}^2}{2\sigma^2}$$

接收功率式:

$$Pr[P_r < P_{\min}] = \int_0^{P_{\min}} \frac{1}{\bar{P}} e^{-\frac{p}{\bar{P}}} dp = 1 - e^{-\frac{P_{\min}}{\bar{P}}}$$

若要求中断率不超过  $x$ , 则有 衰落余量的计算:

$$1 - e^{-\frac{P_{\min}}{\bar{P}}} < x$$

$$FM = \frac{\bar{P}}{P_{\min}} > \frac{1}{\ln \frac{1}{1-x}} \underset{\text{当 } x \text{ 较小时}}{\approx} \frac{1}{x}$$

(注: 当同时考虑大尺度衰落和小尺度衰落的衰落余量时, 总衰落余量线性相乘、分贝相加)

## 5.4.2 莱斯信道模型

### 1. 适用条件

1. 存在一个固定的视距分量

### 2. 幅度增益分布

$$f(a) = \frac{a}{\sigma^2} e^{-\frac{r^2 + A^2}{2\sigma^2}} I_0\left(\frac{Ar}{\sigma^2}\right) \quad (z \geq 0, A \geq 0)$$

$$\begin{cases} A \text{ 为 LOS分量的幅度增益} \\ \sqrt{2\sigma^2} \text{ 为 非LOS分量的幅度增益的均值} \\ I_0 \text{ 为 修正的零阶贝塞尔函数} \end{cases}$$

### 3. 功率增益分布

$$\text{平均衰减 } \bar{P}_r = \int_0^\infty a^2 f(a) da = A^2 + 2\sigma^2$$

$$\text{莱斯系数 } K = \frac{A^2}{2\sigma^2}$$

$$\begin{cases} K \rightarrow 0 \text{ 则 莱斯分布回退为瑞利分布} \\ K \text{ 足够大 则 莱斯分布可近似为 } N(A, \sigma^2) \\ \left( \text{注: 当 } x \gg 1 \text{ 时, } I_0(x) \approx \frac{1}{\sqrt{2\pi x}} e^x \right) \end{cases}$$

### 5.4.3 Nakagami信道模型 (\*)

## 5.5 平坦衰落（窄带衰落）时变信道模型的时变特性

### 5.5.1 时变信道的分析方法

#### 1. 衰落系数的自相关函数

对于信道的时变特性，通常使用衰落系数的自相关函数来分析：（相同  $\Delta t$  下，自相关函数值小，则变化越快 即 变化越剧烈）

$$\text{设 } \beta(t) \text{ 为信道增益, 则有 } A_\beta(t, t + \Delta t) = E[\beta(t)\beta^*(t + \Delta t)]$$

假设信道是广义平稳的，则有

$$A_\beta(t, t + \Delta t) = A_\beta(\Delta t)$$

广义平稳随机过程：随机过程的一阶矩、二阶矩不随时间t发生变化

#### 2. 信道增益的自相关函数 和 信道增益的功率谱密度

已知 信道增益的自相关函数 和 信道增益的功率谱密度 构成一对傅里叶变换对

$$A_\beta(\Delta t) \xrightleftharpoons[\mathcal{F}^{-1}]{\mathcal{F}} S_\beta(f)$$

所以可以先求信道增益的功率谱密度（频域），然后做傅里叶逆变换得到信道增益的自相关函数

#### 3. 信道增益的功率谱密度（功率-频率谱） 和 多普勒谱（功率-多普勒频偏谱）

信道增益的功率谱密度可以等价转换为多普勒谱

$$S_\beta(f) = S_\beta(f_d) \begin{cases} \text{功率谱密度 } S_\beta(f) \text{ 横轴为频率 } f, \text{ 中心为载频 } f_c \\ \text{多普勒谱 } S_\beta(f_d) \text{ 横轴为多普勒频移 } f_d, \text{ 中心为 } 0 \end{cases}$$

## 4. 多普勒谱 和 功率-到达角谱

又知：

$$f_d = \frac{v \cos \theta}{\lambda} = (f_d)_{\max} \cos \theta, \theta \in [0, \pi]$$

则有：

$$S_\beta(f_d) = S_\beta(\theta)$$

$$\text{设 第 } i \text{ 条路径} \begin{cases} \text{以 } \theta_i \text{ 到达的概率 } p_i \\ \text{在 } \theta_i \text{ 方向上的天线增益 } G_i \end{cases} \quad \text{则 } S_\beta(\theta) = \bar{P}_r \times \sum_i p_i G_i$$

## 5.5.2 Clarke 模型

### 1. 适用条件

1. 不存在LOS分量
2. 均匀散射：信号从各个方向到达的概率相同
3. 各个方向的天线增益相同

### 2. 推导

第1步：

由 2、3 条件得到：

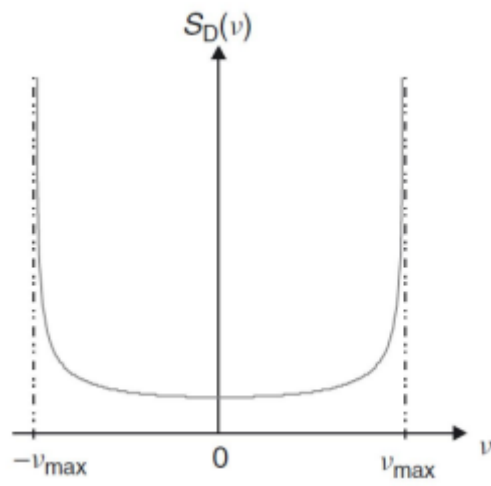
$$\begin{cases} p(\theta) = p(-\theta) = \frac{1}{2\pi} \\ G(\theta) = G(-\theta) = G_0 \end{cases} \Rightarrow S_\beta(\theta) = \bar{P}_r \cdot \frac{G_0}{\pi}$$

(对于 垂直  $\frac{\lambda}{4}$  天线, 则  $G_0 = 1.5$ )

第2步：

由 功率-到达角谱 推导 功率-多普勒频偏谱 (Jakes谱)：

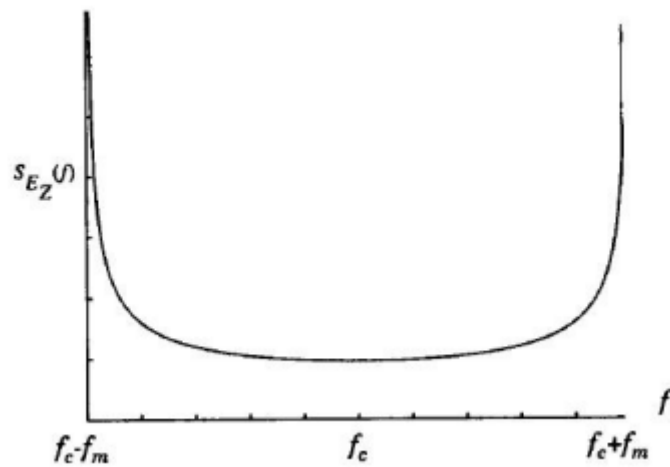
$$S_\beta(f_d) = S_\beta(\theta) \left| \frac{d\theta}{df_d} \right| = \begin{cases} \bar{P}_r \cdot \frac{1.5}{\pi} \cdot \frac{1}{\sqrt{(f_d^{\max})^2 - f_d^2}}, & -f_d^{\max} < f_d < f_d^{\max} \\ 0, & \text{otherwise} \end{cases}$$



第3步:

推导 功率-频率谱 (功率谱密度) :

$$S_{\beta}(f) = \begin{cases} \bar{P}_r \cdot \frac{1.5}{\pi} \cdot \frac{1}{\sqrt{(f_d^{\max})^2 - (f - f_c)^2}}, & f_c - f_d^{\max} < f < f_c + f_d^{\max} \\ 0, & otherwise \end{cases}$$

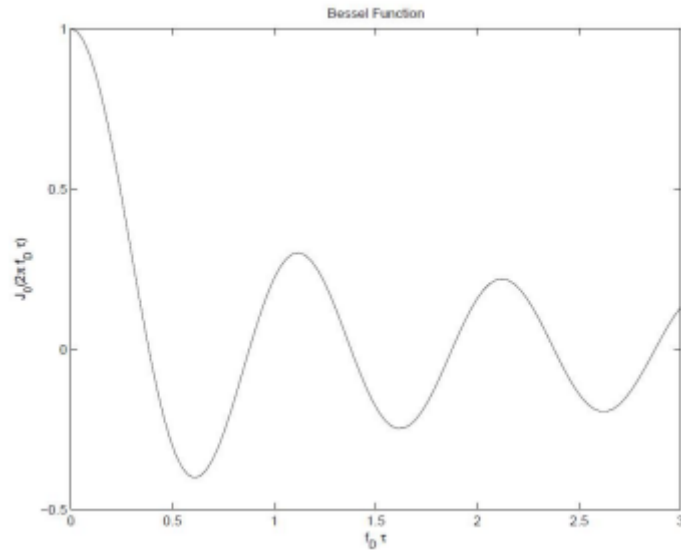


第4步:

由 功率谱密度 求 自相关函数:

$$A_{\beta}(\Delta t) = \mathcal{F}^{-1}[S_{\beta}(f)] = \bar{P}_r \cdot J_0(2\pi f_d^{\max} \Delta t)$$

其中  $J_0(\cdot)$  为 零阶贝塞尔函数



横轴:  $f_d^{max} \Delta t$

纵轴: 自相关函数值

由图可知, 纵轴值为0时, 横轴的值约为0.4

$$f_d^{max} \Delta t \approx 0.4 \Rightarrow \begin{cases} v \Delta t \approx 0.4 \lambda \text{ 即以 } v \text{ 运动 } 0.4 \lambda \text{ 后不相关} \\ \Delta t \approx \frac{0.4}{f_d^{max}} = \frac{0.4 \lambda}{v} \text{ 即 相干时间 } T_c \approx \frac{0.4}{f_d^{max}} = \frac{0.4 \lambda}{v} \end{cases}$$

$$\left( \sqrt{\frac{9}{16\pi}} \approx 0.4 \right)$$

### 5.5.3 电平通过和衰落统计

#### 1. 定义

电平通过率  $N_R$ : 窄带增益包络  $z(t)$  从正向穿过某一电平门限  $Z$  的平均速率 (信道变差的频率)

平均衰落时间  $\bar{\tau}$ : 窄带增益包络  $z(t)$  低于某一电平门限  $Z$  的平均时间 (信道变差的时长)

#### 2. Clarke模型下的结论:

基于Clarke模型假设:

$$\begin{cases} \text{窄带增益包络 } z(t) = |\beta(t)| \\ \text{信道平均增益 } E[z^2(t)] = 2\sigma^2 \end{cases}$$

经过推导, 可以得到:

$$\begin{cases} N_R = \sqrt{2\pi} \cdot f_d^{max} \cdot \frac{z}{\sqrt{2\sigma^2}} e^{-\frac{z^2}{2\sigma^2}} \\ \bar{\tau} = \frac{\sigma}{z f_d^{max} \sqrt{\pi}} \left[ e^{\frac{z^2}{2\sigma^2}} - 1 \right] \end{cases}$$

若 定义 方均根归一化后的包络:

$$\rho = \frac{z}{z_{rms}} = \frac{z}{\sqrt{E[z^2(t)]}} = \frac{z}{\sqrt{2\sigma^2}}$$

则：

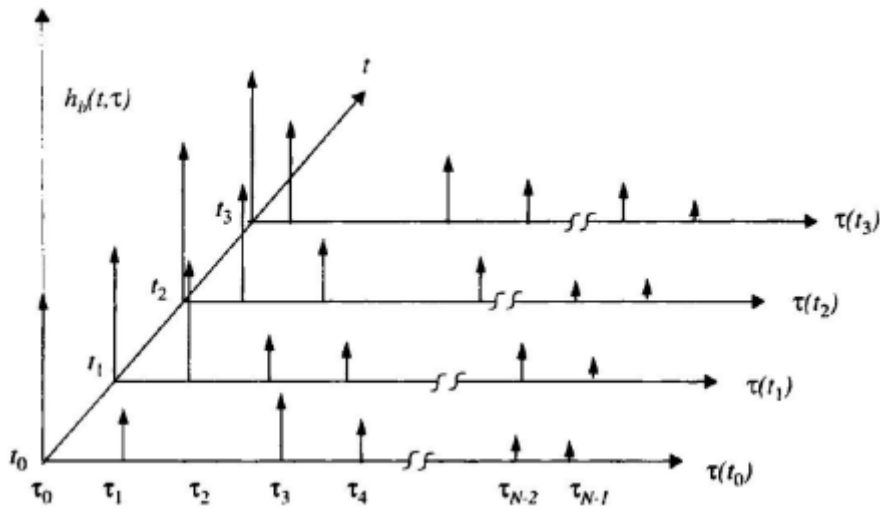
$$\begin{cases} N_R = \sqrt{2\pi} \cdot f_d^{\max} \cdot \rho e^{-\rho^2} \\ \bar{\tau} = \frac{1}{\rho f_d^{\max} \sqrt{2\pi}} [e^{\rho^2} - 1] \end{cases}$$

## 5.6 频选衰落（宽带衰落）时变信道模型

线性时变多径信道：

$$h(t, \tau) = \sum_{n=0}^{N(t)} \delta(\tau - \tau_n(t)) \alpha_n(t) e^{j\phi_n(t)}$$

对于宽带衰落模型，需要综合考虑 时间域 和 时延域



### 5.6.1 附加时延段 和 分析带宽

将信道冲激响应的多径时延  $\tau$  离散化为相同的时延段 即 附加时延段  $\Delta\tau$ ，每个时延段宽度由系统的分析带宽决定：

$$B_{sys} = \frac{2}{\Delta\tau}$$

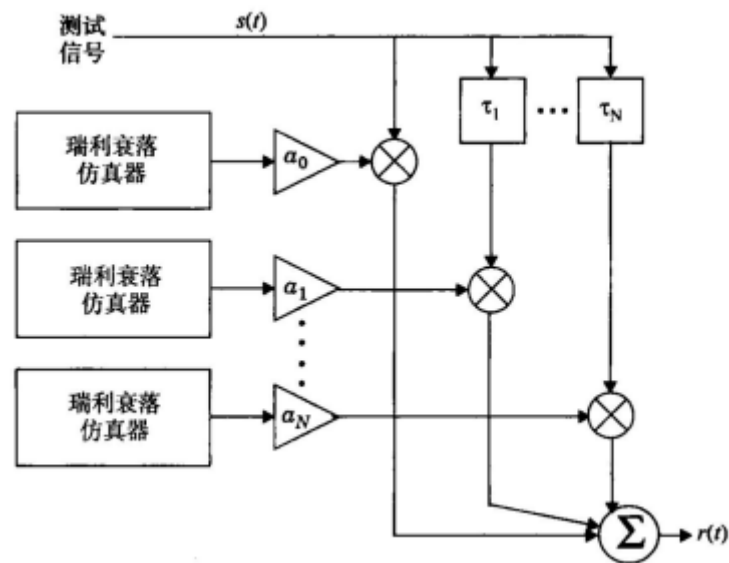
### 5.6.2 WSS-US假设 和 抽头延迟线（TDL）模型

#### 1. WSS-US 假设

一般情况下，线性时变多径宽带信道： $A_h(\tau, \tau + \Delta\tau; t, t + \Delta t) = E[h^*(\tau, t)h(\tau + \Delta\tau, t + \Delta t)]$

$$\begin{cases} WSS\text{假设: } A_h(\tau, \tau + \Delta\tau; t, t + \Delta t) = A_h(\tau, \tau + \Delta\tau; \Delta t) \\ US\text{假设: } A_h(\tau, \tau + \Delta\tau; \Delta t) = A_h(\tau; \Delta t) \end{cases}$$

## 2. 抽头延迟线 (TDL) 模型



(在 WSS-US假设 下)

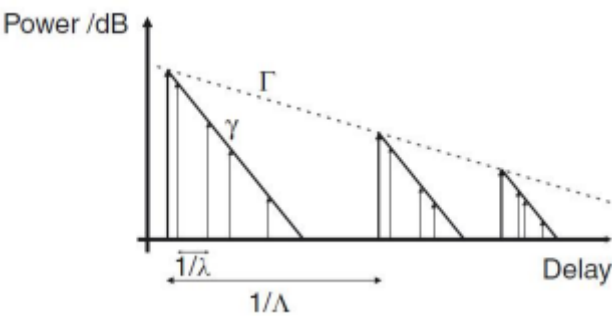
- 1. 包含M个时变抽头，抽头间隔  $\Delta\tau < \frac{1}{B}$
- 2. 信道持续时间超过延迟拓展  $M\Delta\tau > \sigma_\tau$
- 3. 每一个抽头是一个独立随机过程（瑞利、莱斯）

## 5.6.3 基于簇-径的宽带信道模型

在许多小尺度衰落信道实际测量中，多径分量的到达可以 往往按照“簇”和“径”区分

### 1. Saleh - Valenzuela (S-V) 信道模型

PDP:



特点:

- 1. 簇的到达服从均值为 $\Lambda$ 的泊松分布
- 2. 一个簇内，径的到达服从另一个泊松分布

## 5.7 空时信道模型

(...)